

Торможение дислокаций в низкотемпературной фазе фуллерита C_{60} , обусловленное ориентационной релаксацией молекул

В. Д. Нацик, А. В. Подольский

Физико-технический институт низких температур им. Б. И. Веркина НАН Украины
Украина, 61164, г. Харьков, пр. Ленина, 47
E-mail: natsik@ilt.kharkov.ua

Статья поступила в редакцию 28 июля 1999 г., после переработки 21 сентября 1999 г.

Обсуждено взаимодействие краевой дислокации с пентагонными (p) и гексагонными (h) ориентационными состояниями молекул в низкотемпературной ПК фазе фуллерита C_{60} . Рассмотрен интервал температур $T_g < T < T_c$, где $T_c = 260$ К — температура фазового перехода, $T_g = 90$ К — температура ориентационного стеклования. Описано неоднородное распределение h -конфигураций вокруг линии неподвижной дислокации и определена стартовая сила $F_s(T)$, способная вырвать дислокацию из образованного ею облака h -конфигураций. Вычислена и проанализирована сила динамического торможения $F_D(T, V)$, возникающая в результате термически активированных переходов между p - и h -конфигурациями под действием упругого поля дислокации, движущейся с постоянной скоростью V .

Обговорено взаємодію крайової дислокації з пентагонними (p) і гексагонними (h) орієнтаційними станами молекул у низькотемпературній ПК фазі фуллериту C_{60} . Розглянуто інтервал температур $T_g < T < T_c$, де $T_c = 260$ К — температура фазового переходу, $T_g = 90$ К — температура орієнтаційного склування. Описано неоднорідний розподіл h -конфігурацій навколо лінії нерухомої дислокації і визначено стартову силу $F_s(T)$, котра здатна вирвати дислокацію з утвореної нюю атмосфери h -конфігурацій. Обчислено та проаналізовано силу динамічного тертя $F_D(T, V)$, яка виникає в результаті термічно активованих переходів між p - і h -конфігураціями під дією пружнього поля дислокації, що рухається з постійною швидкістю V .

PACS: 62.20.-x, 61.70.Le

Введение

Изучение пластической деформации монокристаллов фуллерита C_{60} методом микропробирования показало [1–5], что в широкой области умеренно низких температур 300–80 К носителями пластичности в них являются дислокации, принадлежащие системе скольжения $(111)\langle 110 \rangle$. Дискретная дислокационная структура линий скольжения в окрестности отпечатка индентора выявлена методами термического и химического травления в работах [1,3]. Поэтому на пути построения последовательной микроскопической теории пластичности и прочности кристаллического C_{60} одной из первоочередных задач является анализ подвижности дислокаций в этом материале [6].

Движение дислокации в кристалле всегда сопровождается диссипацией энергии, приводящей

к ее торможению. Часть энергетических потерь дислокации связана с дискретностью структуры кристалла, и их описание требует микроскопического подхода — например торможение, обусловленное потенциальным рельефом Пайерлса или неподвижными локальными примесными барьерами [7–9]. Другие механизмы потерь имеют макроскопическое происхождение и могут быть проанализированы в рамках континуальной теории [8–10]: к ним относятся различные релаксационные процессы, происходящие в упругом поле движущейся дислокации, например, диффузия примесных атмосфер, релаксация в газе квазичастиц и т. п.

В низкотемпературной простой кубической (ПК) фазе фуллерита C_{60} , существующей ниже $T_c = 260$ К, наиболее эффективным механизмом диссипации механической энергии является решеточно-ориентационное взаимодействие и ориента-

ционная релаксация молекул — термически активированные переходы молекул между двумя энергетически неэквивалентными ориентациями, получившими название пентагонной (*p*) и гексагонной (*h*) конфигураций. Влияние ориентационной релаксации на тепловые и реологические свойства кристаллов фуллерита детально проанализировано в нашей предыдущей работе [11]. В [11] можно также найти список публикаций, в которых отражена предыстория данной проблемы и содержится подробная характеристика решеточно-ориентационной структуры фуллерита C_{60} . Ниже мы максимально кратко опишем только отдельные детали этой структуры, сведения о которых необходимы для четкой формулировки рассматриваемой задачи.

В ПК фазе оси симметрии третьего порядка молекул C_{60} ориентационно упорядочены и молекулы могут совершать только малые либрации и заторможенные повороты вокруг этих осей. При таких вращениях реализуются два типа минимумов угловой зависимости энергии парного межмолекулярного взаимодействия: более глубокий глобальный (*p*-конфигурация) и локальный (*h*-конфигурация) минимумы; различие в энергиях этих конфигураций в расчете на одну межмолекулярную связь $\Delta \approx 0,01$ эВ. Пентагонная и гексагонная конфигурации разделены энергетическим барьером порядка 0,3 эВ: если символом U_p обозначить барьер для $p \rightarrow h$ -перехода, то барьер для обратного $h \rightarrow p$ -перехода будет иметь величину $U_h = U_p - \Delta$. В классическом пределе (без учета квантовых эффектов) идеальной термодинамически равновесной структуре фуллерита соответствуют *p*-конфигурации всех парных межмолекулярных связей, а *h*-конфигурации следует рассматривать как локальные дефекты структуры, которые могут возбуждаться, например, тепловым движением молекул. В состоянии термодинамического равновесия объемные концентрации гексагонных N_h и пентагонных N_p конфигураций определяются распределением Больцмана и соотношением баланса:

$$\bar{n}_h = \frac{\bar{N}_h}{N_0} = \left(1 + \exp \frac{\Delta}{kT} \right)^{-1}; \quad \bar{n}_p = \frac{\bar{N}_p}{N_0} = 1 - \bar{n}_h; \quad (1)$$

здесь черта над символом обозначает состояние равновесия, а $N_0 = N_p + N_h$ — объемная концентрация двухъямыых ориентационных состояний.

Средние времена термически активированного разрушения *p*-конфигураций τ_p и *h*-конфигураций τ_h определяются активационной формулой вида

$$\tau_{p,h} = \tau_0 \exp \frac{U_{p,h}}{kT}, \quad (2)$$

где τ_0 — характерный период либраций, который предполагается одинаковым для обеих конфигураций (эмпирические оценки приводят к значениям $\tau_0 \approx 10^{-13}-10^{-14}$ с). В соответствии с этим изменение со временем неравновесной заселенности дефектных *h*-конфигураций $n_h(t)$ (ориентационная релаксация) описывается простым кинетическим уравнением:

$$\tau \frac{d}{dt} n_h + n_h = \frac{\tau}{\tau_p} , \quad \tau = \frac{\tau_p \tau_h}{\tau_p + \tau_h}. \quad (3)$$

В температурном интервале $T_c > T > T_g \approx 90$ К равновесная концентрация дефектных *h*-конфигураций изменяется в пределах $0,4 > \bar{n}_h > 0,2$, а характерное время установления ориентационного равновесия $\tau < 10^3$ с. При таких температурах термически активированные переходы между *p*- и *h*-конфигурациями происходят достаточно быстро в масштабах лабораторного времени и состояние кристалла может рассматриваться как своеобразная ориентационная жидкость (ОЖ). С другой стороны, при охлаждении фуллерита ниже T_g термодинамическое равновесие между *p*- и *h*-конфигурациями не успевает устанавливаться за стандартные лабораторные времена. Поэтому при $T < T_g$ кристалл попадает в состояние ориентационного стекла с концентрацией замороженных дефектных конфигураций $n_{hg} \approx 0,2$, а граничная температура T_g имеет смысл температуры ориентационного стеклования.

Для описания связи вращательных степеней свободы молекул с деформациями кристаллической решетки фуллерита в работе [11] предложено ввести деформационные добавки к перечисленным выше параметрам межмолекулярного взаимодействия U_p , U_h и Δ . Принимая во внимание кубическую симметрию фуллерита и ограничиваясь линейным приближением по компонентам тензора деформации ε_{ik} , имеем

$$U_{p,h}^{(\varepsilon)} = U_{p,h} - v_{p,h} \varepsilon_{ll}, \quad \Delta^{(\varepsilon)} = \Delta - v_\Delta \varepsilon_{ll}. \quad (4)$$

Здесь ε_{ll} — сумма диагональных компонент тензора деформаций, а v_p , v_h и $v_\Delta = v_p - v_h$ — константы деформационного потенциала, для которых в работе [11] получены эмпирические оценки: $v_p \approx v_h \approx 2,0$ эВ, $v_\Delta \approx 2\Delta \approx 2,4 \cdot 10^{-2}$ эВ.

Модель двухъямных ориентационных состояний молекул, дополненная соотношениями (4) и кинетическим уравнением (3), создает все необходимые предпосылки для анализа взаимодействия дислокации с вращательными степенями свободы молекул в низкотемпературной фазе фуллерита C_{60} , в том числе и для описания динамического трения дислокаций, обусловленного этим взаимодействием. Ранее качественная характеристика такого трения была дана в работе [6], в которой при описании дислокационно-ориентационного взаимодействия использовано приближение линейного отклика, не учитывающее зависимость времени ориентационной релаксации τ от локальных значений дислокационных деформаций ε_{ik} . Это приближение значительно упрощает анализ задачи, но его применимость нарушается в окрестности ядра дислокации (данное обстоятельство было отмечено в [6]). Ниже будут проанализированы те качественные и количественные изменения динамического трения дислокаций в фуллерите C_{60} , которые возникают в результате более строгого подхода к описанию решеточно-ориентационного взаимодействия, предложенного в [11].

1. Общая характеристика дислокационно-ориентационного взаимодействия

Присутствие дислокации в кристалле фуллерита C_{60} нарушает однородное распределение (1) пентагонных и гексагонных конфигураций молекул. При заданной постоянной температуре в упругом поле неподвижной дислокации $\varepsilon_{ik}(\mathbf{r})$ образуется неоднородная равновесная «атмосфера» дефектных h -конфигураций, подобная атмосфере из примесей внедрения, окружающей дислокационную линию в ОЦК металле (атмосфера Снука) [8]. Можно рассмотреть стартовую силу $F_s(T)$, которая способна достаточно быстро (формально — мгновенно) привести в движение ранее покоявшуюся дислокацию, т.е. вырвать ее из облака h -конфигураций. Величина такой силы определяется изменением упругой энергии кристалла при смещении линии дислокации относительно центра остающегося неподвижным облака.

Поле деформаций $\varepsilon_{ik}(\mathbf{r} - \mathbf{V}t)$ дислокации, движущейся с постоянной скоростью \mathbf{V} ($V \ll s$, где s — характерная скорость звука), нарушает локальное термодинамическое равновесие между p -и h -конфигурациями и возбуждает релаксационный процесс, восстанавливающий это равновесие. Диссипация энергии, сопровождающая такой релаксационный процесс, приводит к появлению эквивалентной силы динамического торможения

дислокации $\mathbf{F}_D(\mathbf{V}, T)$, зависящей от ее скорости и температуры кристалла.

Последовательное описание дислокационной пластичности фуллерита C_{60} предполагает вычисление обеих указанных сил, хотя их относительная роль в различных температурных интервалах неодинакова. Из общих соображений можно ожидать, что при $T < T_g$ релаксационное торможение практически отсутствует и основную роль будет играть стартовая сила $\mathbf{F}_s(T)$, тогда как при $T > T_g$ на первый план должна выступить сила $\mathbf{F}_D(\mathbf{V}, T)$.

Для дислокаций в анизотропных кристаллических структурах явный вид поля деформаций $\varepsilon_{ik}(\mathbf{r})$ неизвестен, поэтому при решении задач, подобных рассматриваемой в данной работе, приходится прибегать к модели эквивалентной упруго-изотропной среды. Два модуля упругости такой среды вычисляются с помощью специальных методов усреднения модулей упругости кристалла. Согласно сформулированной в [8] рекомендации, при расчете локальных характеристик упругого поля дислокации целесообразно использовать метод усреднения Фогта. В случае кубического кристалла с модулями упругости C_{11} , C_{12} и C_{14} метод Фогта приводит к эквивалентной упруго-изотропной среде с модулями всестороннего сжатия B и сдвига G , которые определяются соотношениями [8]

$$3B = C_{11} + 2C_{12}, \quad 5G = 3C_{44} + C_{11} - C_{12}. \quad (5)$$

Использование значений модулей упругости монокристалла фуллерита при комнатной температуре, измеренных акустическими методами [12], приводит к оценкам: $B \approx 1,1 \cdot 10^{10}$ Па, $G \approx 0,5 \cdot 10^{10}$ Па.

В дальнейшем мы будем рассматривать прямолинейную краевую дислокацию с вектором Бюргерса \mathbf{b} , которая покоятся или движется в своей плоскости скольжения с постоянной скоростью \mathbf{V} . В прямолинейной системе координат с осью x_3 вдоль линии дислокации и осью x_1 вдоль направления векторов \mathbf{b} и \mathbf{V} поле дилатаций дислокации $\varepsilon_{ll}(\mathbf{r} - \mathbf{V}t)$, записанное в изотропном приближении, имеет вид [7,8]

$$\varepsilon_{ll}(\mathbf{r} - \mathbf{V}t) \equiv \varepsilon_{ll}(x_1 - Vt, x_2) = \varepsilon_0 r_0 \psi(x_1 - Vt, x_2), \quad (6)$$

$$\varepsilon_0 = \frac{3G b}{\pi(3B + 4G)r_0}, \quad \psi(x_1, x_2) = -\frac{x_2}{x_1^2 + x_2^2}.$$

В эту формулу мы преднамеренно ввели параметр r_0 — радиус ядра дислокации, предполагая в

далнейшем устранение нефизической расходимости (6) на линии дислокации ($x_1 = Vt$, $x_2 = 0$). Если воспользоваться стандартной оценкой $r_0 \approx b$ и приведенными выше оценками модулей B и G , то для величины деформации в ядре дислокации получим оценку $\epsilon_0 \approx 0,1^*$.

Рассмотрим вначале структуру атмосферы h -конфигураций, сформировавшейся на неподвижной дислокации ($V = 0$) при температурах $T_g < T < T_c$. Избыточную равновесную концентрацию $\bar{v}_h^{(\epsilon)} = \bar{n}_h^{(\epsilon)} - \bar{n}_h$ гексагонных конфигураций, обусловленную дилатацией (6), легко получить, используя формулы (1) и (4). Так как в рассматриваемом температурном интервале $T > T_g$ справедливо неравенство $q = v_\Delta \epsilon_0 / (kT) \ll 1$, то выражение для $\bar{v}_h^{(\epsilon)}$ можно записать в линейном по q приближении, считая, что после устранения расходимости $|r_0 \psi(x_1, x_2)| \leq 1$:

$$\bar{v}_h^{(\epsilon)}(\mathbf{r}) = qr_0 \bar{n}_p \bar{n}_h \psi(x_1, x_2). \quad (7)$$

Мгновенное смещение дислокации вдоль оси x_1 на расстояние z по отношению к центру образованного ею облака h -конфигураций (7) при фиксированной температуре приводит к изменению плотности решеточно-ориентационной части свободной энергии фуллерита [11] на величину

$$\delta W^{(hd)}(x_1, x_2; z) = -\gamma \bar{v}_h^{(\epsilon)}(x_1, x_2) \times \\ \times [\epsilon_{ll}(x_1 - z, x_2) - \epsilon_{ll}(x_1, x_2)], \quad (8)$$

где γ — феноменологический параметр ориентационно-решеточного взаимодействия. Используя (8), можно вычислить отнесенную к единице длины дислокации стартовую силу F_s , которую необходимо приложить к дислокации в плоскости скольжения, чтобы вырвать ее из облака h -конфигураций:

$$F_s = \gamma \bar{n}_p \bar{n}_h q \epsilon_0 r_0^2 \max |I(z)|, \quad (9)$$

$$I(z) = \frac{\partial}{\partial z} \int_{-\infty}^{\infty} dx_1 \int_{-\infty}^{\infty} dx_2 \psi(x_1, x_2) \psi(x_1 - z, x_2).$$

Вычисление этого интеграла предполагает, естественно, указание корректной процедуры устранения расходимостей подынтегрального выражения в точках ($x_1 = 0, x_2 = 0$) и ($x_1 = z, x_2 = 0$).

Скольжение дислокации с постоянной скоростью V через объем кристалла с равновесным однородным распределением гексагонных конфигура-

ций будет приводить к нарушению локального равновесия: $n_h(\mathbf{r}, t) = \bar{n}_h + v_h(\mathbf{r}, t)$, где v_h — неравновесная добавка, индуцированная упругим полем дислокации (6). Уравнение для неравновесной добавки $v_h(\mathbf{r}, t)$, согласно (2)–(4), имеет вид

$$\tau^{(\epsilon)} \frac{\partial}{\partial t} v_h + v_h = \frac{\tau_p^{(\epsilon)}}{\tau_p} - \bar{n}_h. \quad (10)$$

Здесь $\tau^{(\epsilon)}$ и $\tau_{p,h}^{(\epsilon)}$ — соответственно локальные значения времени ориентационной релаксации и времен активированного разрушения пентагонных и гексагонных конфигураций в упругом поле движущейся дислокации:

$$\tau^{(\epsilon)} = \frac{\tau_p^{(\epsilon)} \tau_h^{(\epsilon)}}{\tau_p^{(\epsilon)} + \tau_h^{(\epsilon)}}, \quad (11)$$

$$\tau_{p,h}^{(\epsilon)} = \tau_0 \exp \left[\frac{U_{p,h} - v_{p,h} \epsilon_{ll}(x_1 - Vt, x_2)}{kT} \right].$$

Легко показать, что в рассматриваемом температурном интервале $T_g < T < T_c$ правая часть уравнения (10) вне ядра дислокации допускает линеаризацию по величине дилатации $\epsilon_{ll}(x_1 - Vt, x_2)$ (формально — по малому параметру $q = v_\Delta \epsilon_0 / kT \ll 1$). Вместе с тем время релаксации $\tau^{(\epsilon)}$ не допускает такой линеаризации: оно содержит большой параметр $Q = v_p \epsilon_0 / kT$ и остается существенно нелинейной (экспоненциальной) функцией дилатации $\epsilon_{ll}(x_1 - Vt, x_2)$.

Уравнение (10) представляет собой линейное дифференциальное уравнение с переменными коэффициентами, и его решение, удовлетворяющее естественному начальному условию $v_h(\mathbf{r}, -\infty) \equiv 0$, можно записать в квадратурах [13]. В линейном по параметру q приближении имеем

$$v_h(x_1, x_2, t) = \frac{qr_0 \bar{n}_p}{\tau_p} \int_0^\infty dt' \psi[x_1 - V(t - t'), x_2] \times \\ \times \exp \left\{ Q r_0 \psi[x_1 - V(t - t'), x_2] - \right. \\ \left. - \frac{1}{\bar{n}_h \tau_p} \int_0^t dt'' \exp [Q r_0 \psi[x_1 - V(t - t''), x_2]] \right\}, \quad (12)$$

* Малая величина $\epsilon_0 \ll 1$ в определенной степени оправдывает использование линейного по ϵ_{ll} приближения в разложениях (4).

$$q = \frac{v_\Delta \epsilon_0}{kT}, Q = \frac{v_p \epsilon_0}{kT}.$$

Индукционный упругим полем движущейся дислокации релаксационный процесс (12) в системе ориентационных состояний сопровождается диссипацией механической энергии кристалла с эквивалентной силой трения $F_D(V, t)$. Производная по времени от локальной плотности энергии дислокационно-ориентационного взаимодействия определяется выражением

$$\begin{aligned} \frac{\partial}{\partial t} W^{(hd)}(x_1, x_2, t) = -\gamma v_h(x_1, x_2, t) \times \\ \times \frac{\partial}{\partial t} \epsilon_{ll}(x_1 - Vt, x_2). \end{aligned} \quad (13)$$

Интегрирование (13) по координатам x_1 и x_2 дает величину диссипативной функции процесса, отнесенную к единице длины дислокации. Приравнивая эту величину произведению $F_D V$, получаем для силы трения единицы длины дислокации выражение

$$\begin{aligned} F_D = \frac{qr_0^2 \epsilon_0 \bar{n}_p \gamma}{\tau_p} \int_{-\infty}^{\infty} \int_{-\infty}^{\infty} dx_1 dx_2 \frac{\partial}{\partial x_1} \psi[x_1 - Vt, x_2] \times \\ \times \int_0^{\infty} dt' \psi[x_1 - V(t - t'), x_2] \times \\ \times \exp [Qr_0 \psi(x_1 - V(t - t'), x_2)] \times \\ \times \exp \left\{ -\frac{1}{\bar{n}_h \tau_p} \int_0^{t'} dt'' \exp [Qr_0 \psi(x_1 - V(t - t''), x_2)] \right\}. \end{aligned} \quad (14)$$

Эта формула, как и формула (9), приобретает физический смысл только после устранения расходности, связанной с сингулярностью функции $\psi(x_1, x_2)$.

Интегралы (9) и (14) дают решение в квадратурах задачи о вычислении силы торможения дислокации, возникающей в результате взаимодействия ее упругого поля с ориентационными конфигурациями молекул. Следующий этап анализа — получение в явном виде зависимости этой силы от температуры кристалла и скорости дисло-

кации, а также оценок характерной величины силы трения в различных температурно-скоростных интервалах.

2. Температурная зависимость стартовой силы $F_s(T)$

Наиболее простой способ устранения сингулярности при вычислении интеграла $I(z)$ в выражении (9) — удаление из области интегрирования полосы $|x_2| < r_0$, где r_0 — радиус ядра дислокации. Выполняя после этого замену переменных интегрирования $\xi x_2 = x_1$ и $\eta x_2 = z$, получаем

$$\begin{aligned} I(z) = -2 \int_{-\infty}^{\infty} dx_1 \int_{r_0}^{\infty} dx_2 \psi(x_1, x_2) \frac{\partial}{\partial x_1} \psi(x_1 - z, x_2) = \\ = -\frac{2}{z} \int_{-\infty}^{\infty} d\xi \int_0^{z/r_0} d\eta \psi(\xi, 1) \frac{\partial}{\partial \xi} \psi(\xi - \eta, 1) = \\ = \frac{2}{z} \int_{-\infty}^{\infty} d\xi \psi(\xi, 1) \int_0^{z/r_0} d\eta \frac{\partial}{\partial \eta} \psi(\xi - \eta, 1) = \\ = 2 \int_{-\infty}^{\infty} \frac{d\xi}{(1 + \xi^2)^2} \left[\frac{2\xi r_0 - z}{r_0^2 + (\xi r_0 - z)^2} \right]. \end{aligned}$$

Оставшийся интеграл легко вычислить, используя теорему вычетов теории функций комплексного переменного:

$$I(z) = -\frac{\pi z}{4r_0^2 + z^2}, \max |I(z)| = \frac{\pi}{4r_0}. \quad (15)$$

Подстановка (15) в (9) приводит к оценке

$$F_s \approx \frac{\pi r_0 \epsilon_0^2 v_\Delta \gamma \bar{n}_p \bar{n}_h}{4kT} = \frac{b^2 v_\Delta \gamma \bar{n}_p \bar{n}_h}{4\pi r_0 kT} \left[\frac{3G}{3B + 4G} \right]^2. \quad (16)$$

В рамках феноменологической термодинамики ориентационных состояний [11] коэффициент γ не определен, он остается феноменологическим параметром теории. В связи с этим целесообразно выразить этот коэффициент через характеристики фуллерита, допускающие экспериментальное определение, например через теплоемкость. Используя результаты работы [11], приходим к соотношению

$$\gamma = \frac{v_{\Delta} k T^2 C_v^{(\text{ор})}(T)}{\Delta^2 \bar{n}_p \bar{n}_h}, \quad (17)$$

где $C_v^{(\text{ор})}$ — ориентационная составляющая теплоемкости единицы объема. Вместе с тем коэффициенту γ можно придать также микроскопический смысл. Замечая, что возбуждение единичной h -конфигурации сопровождается повышением энергии кристалла на величину Δ , получаем

$$C_v^{(\text{ор})} = N_0 \Delta \left(\frac{d \bar{n}_h}{dT} \right)_V = \frac{N_0 \Delta^2 \bar{n}_p \bar{n}_h}{k T^2}. \quad (18)$$

Сравнение (17) и (18) дает для коэффициента γ выражение

$$\gamma = N_0 v_{\Delta}. \quad (19)$$

Подстановка (1) и (19) в (16) приводит к выражению для стартовой силы, которое в явном виде определяет ее температурную зависимость:

$$F_s(T) = \left(\frac{3G}{3B + 4G} \right)^2 \frac{b^2 v_{\Delta}^2 N_0}{4\pi r_0 k T} \frac{\exp(\Delta/kT)}{[1 + \exp(\Delta/kT)]^2}. \quad (20)$$

Отметим, что фигурирующие в формулах для F_s параметры B и G — изотермические модули упругости, хотя, строго говоря, при той точности, с которой получены эти формулы, нет смысла различать изотермические и адиабатические значения модулей, а также учитывать их зависимость от температуры.

3. Сила динамического торможения

Расходимость в интеграле (14), определяющем силу динамического торможения равномерно движущейся дислокации, устраняется, как и при вычислении стартовой силы, исключением из области интегрирования полосы $|x_2| < r_0$. Кроме того, легко видеть, что интеграл несколько упрощается при замене $x_1 - Vt \rightarrow x_1$ и интегрировании по частям по переменной t' :

$$F_D = q\gamma \epsilon_0 r_0^2 \bar{n}_p \bar{n}_h \times \\ \times \int_{r_0}^{\infty} dx_2 \int_{-\infty}^{\infty} dx_1 \left[\frac{\partial}{\partial x_1} \psi(x_1, x_2) \right] \int_0^{\infty} dt \left[\frac{\partial}{\partial t} \psi(x_1 + Vt, x_2) \right] \times$$

$$\times \left\{ \exp \left[-\frac{1}{\bar{n}_h \tau_p} \int_0^t dt' \exp [Qr_0 \psi(x_1 + Vt', x_2)] \right] + \right. \\ \left. + \exp \left[-\frac{1}{\bar{n}_h \tau_p} \int_0^t dt' \exp [-Qr_0 \psi(x_1 + Vt', x_2)] \right] \right\}.$$

В дальнейшем удобно перейти к безразмерным переменным интегрирования η , ξ , v , выполнив замены $x_1 = Qr_0 \xi$, $x_2 = Qr_0 \eta$, $Vt = Qr_0 v$:

$$F_D = q\gamma \epsilon_0 r_0 \bar{n}_p \bar{n}_h I \left(Q, \frac{V_T}{V} \right); \quad (21)$$

$$I \left(Q, \frac{V_T}{V} \right) = \frac{1}{Q} \int_{1/Q}^{\infty} d\eta \int_{-\infty}^{\infty} d\xi \left[\frac{\partial}{\partial \xi} \psi(\xi, \eta) \right] \times \\ \times \int_0^{\infty} dv \left[\frac{\partial}{\partial \xi} \psi(\xi + v, \eta) \right] \times \\ \times \left\{ \exp \left[-\frac{V_T}{V} \int_0^v dv' \exp [\psi(\xi + v', \eta)] \right] + \right. \\ \left. + \exp \left[-\frac{V_T}{V} \int_0^v dv' \exp [-\psi(\xi + v', \eta)] \right] \right\}, \quad (22)$$

$$V_T = \frac{r_0 Q}{\tau_p \bar{n}_h}.$$

Асимптотические оценки интеграла (22) можно получить, рассматривая предельные случаи достаточно малых и больших скоростей дислокации: $V \ll V_T$ и $V \gg V_T$.

3.1. Область малых скоростей

Переходя к вычислению асимптотик интеграла $I(Q, V_T/V)$, прежде всего отметим, что для стоящих в показателе экспоненты интегралов справедлива простая асимптотическая оценка:

$$I_1^{(\pm)} = \int_0^v dv' e^{\pm \psi(\xi + v', \eta)} \simeq \begin{cases} v e^{\pm \psi(\xi, \eta)}, & v \rightarrow 0; \\ v \pm \pi & v \rightarrow \infty. \end{cases} \quad (23)$$

В предельном случае очень малых скоростей дислокации $V \rightarrow 0$ основной вклад в интеграл по переменной v дает область малых значений $v \rightarrow 0$, что позволяет под знаком интеграла положить $\frac{\partial}{\partial \xi} \psi(\xi + v, \eta) \approx \frac{\partial}{\partial \xi} \psi(\xi, \eta)$ и с экспоненциальной точностью пренебречь первым слагаемым в фигурных скобках (22):

$$I\left(Q, \frac{V_T}{V}\right) = \frac{2V}{QV_T} \int_1^Q d\eta \int_0^\infty d\xi \left[\frac{\partial \psi(\xi, \eta)}{\partial \xi} \right]^2 e^{\psi(\xi, \eta)}, \\ V \rightarrow 0.$$

Интегрирование по частям по переменной ξ и еще одна замена переменных позволяют преобразовать этот интеграл к виду

$$I\left(Q, \frac{V_T}{V}\right) \approx -\frac{2V}{V_T} \int_1^\infty d\eta \int_0^\infty d\xi \left[\frac{\partial^2 \psi(\xi, \eta)}{\partial^2 \xi} \right] e^{Q\psi(\xi, \eta)}. \quad (24)$$

Основной вклад по параметру $Q \gg 1$ в интеграл (24) дает малая область вблизи точки $\xi = 0, \eta = 1$. Заменяя под знаком интеграла

$$\frac{\partial^2 \psi(\xi, \eta)}{\partial^2 \xi} \approx \left(\frac{\partial^2 \psi(\xi, \eta)}{\partial^2 \xi} \right)_{\xi=0, \eta=1} = -2, \\ \psi(\xi, \eta) \approx 2 - \eta - \xi^2$$

и выполняя интегрирование, получаем окончательное выражение для асимптотики интеграла (22) при малых скоростях:

$$I\left(Q, \frac{V_T}{V}\right) = \frac{2\sqrt{\pi} e^{QV}}{Q^{3/2}}, \quad V \rightarrow 0. \quad (25)$$

Более точный анализ показывает, что величина интеграла (22) в области малых скоростей довольно плохо приближается к асимптотике (25): в области $V < V_T$ существует большой интервал скоростей, в котором различие между (22) и (25) оказывается весьма значительным. Данное обстоятельство обусловлено существованием в пространстве переменных (ξ, η, v) протяженных областей, в которых нельзя пользоваться верхней из асимптотик (23). В связи с этим величина интеграла (22) была получена численными методами с использованием компьютера для наборов значений параметров V и Q из интервалов $0,1V_T \leq V \leq V_T$ и $10 \leq Q \leq 25$. Результаты вы-

числений позволили получить для интеграла (22) простую аналитическую аппроксимацию, которая в указанных областях значений параметров имеет относительную точность порядка 0,1:

$$I\left(Q, \frac{V_T}{V}\right) \approx \frac{Q^{3/5}}{8} \left(\frac{V}{V_T} \right)^{2/25}, \quad 0,1V_T \leq V \leq V_T. \quad (26)$$

Таким образом, линейная зависимость (25) интеграла $I(Q, V_T/V)$ от скорости дислокации и в области промежуточных скоростей $V \leq V_T$ переходит в очень слабую зависимость (26). Сравнивая (25) и (26), легко получить оценку для характерной скорости V_{T0} , разделяющей две указанные выше области:

$$V_{T0} \approx \frac{V_T Q^2}{30} e^{-Q}. \quad (27)$$

3.2. Область больших скоростей

Проанализируем сначала один из внутренних интегралов в (22):

$$I_2(\xi, \eta) = \int_0^\infty dv \left[\frac{\partial}{\partial \xi} \psi(\xi + v, \eta) \right] \times \\ \times \left\{ \exp \left[-\frac{V_T}{V} I^{(+)}(\xi, \eta, v) \right] + \exp \left[-\frac{V_T}{V} I^{(-)}(\xi, \eta, v) \right] \right\} \equiv \\ \equiv \int_0^\infty dv \left[\frac{\partial}{\partial \xi} \psi(\xi + v, \eta) \right] \left\{ \exp \left[-\frac{V_T}{V} (I_1^{(+)} - v) \right] + \right. \\ \left. + \exp \left[-\frac{V_T}{V} (I_1^{(-)} - v) \right] \right\} \exp \left(-\frac{V_T}{V} v \right).$$

Поскольку производная

$$\frac{\partial}{\partial v} (I_1^{(\pm)} - v) = e^{\pm \psi(\xi+v, \eta)} - 1$$

не обращается в нуль при конечных значениях v и имеют место асимптотики (23), справедливо неравенство $|I_1^{(\pm)} - v| \leq \pi$. Следовательно, при $V \gg \pi V_T$ имеем

$$I_2(\xi, \eta) = \int_0^\infty dv \left[\frac{\partial}{\partial \xi} \psi(\xi + v, \eta) \right] \exp \left(-\frac{V_T}{V} v \right). \quad (28)$$

Подстановка (28) в интеграл (22) и несложные преобразования приводят его к виду

$$\begin{aligned} I\left(Q, \frac{V_T}{V}\right) &= \frac{2}{Q} \int_{1/Q}^{\infty} d\eta \int_{-\infty}^{\infty} d\xi \left[\frac{\partial}{\partial \xi} \psi(\xi, \eta) \right] \times \\ &\times \int_0^{\infty} dv \left[\frac{\partial}{\partial \xi} \psi(\xi + v, \eta) \right] \exp\left(-\frac{V_T}{V} v\right) = \\ &= -\frac{2V_T}{QV} \int_0^{\infty} dv \exp\left(-\frac{V_T v}{QV}\right) \times \\ &\times \int_1^{\infty} d\eta \int_{-\infty}^{\infty} d\xi \psi(\xi, \eta) \frac{\partial}{\partial \xi} \psi(\xi + v, \eta). \end{aligned}$$

Интеграл по переменным (η, ξ) совпадает с вычисленным ранее интегралом (15), если полагать $r_0 = 1$, $z = -v$. Следовательно, в рассматриваемом предельном случае

$$\begin{aligned} I\left(Q, \frac{V_T}{V}\right) &\approx \frac{\pi V_T}{QV} \int_0^{\infty} dv \frac{v \exp\left(-\frac{V_T v}{QV}\right)}{v^2 + 4} = \\ &= -\frac{\pi V_T}{QV} \left[\text{ci}\left(\frac{2V_T}{QV}\right) \cos\left(\frac{2V_T}{QV}\right) + \text{si}\left(\frac{2V_T}{QV}\right) \sin\left(\frac{2V_T}{QV}\right) \right], \end{aligned} \quad (29)$$

где $\text{si}(x)$ и $\text{ci}(x)$ — соответственно интегральный синус и косинус. В рассматриваемом случае $V \gg \pi V_T$ и $Q \gg 1$ аргументы функций в формуле (29) имеют малую величину, что дает возможность записать для интеграла $I(Q, V_T/V)$ асимптотическое выражение

$$I\left(Q, \frac{V_T}{V}\right) \approx \frac{\pi V_T}{QV} \ln\left(\frac{QV}{2V_T}\right), \quad V \gg \pi V_T. \quad (30)$$

Выражение (30) является медленно убывающей функцией скорости, которая продолжает зависимость (26). Формулы (25), (26) и (30) показывают, что в области скоростей $V \sim V_T$ функция $I(Q, V_T/V)$ имеет широкий пик с почти плоской вершиной (26). Высота этого пика слабо зависит от температуры:

$$\max_{(V)} I\left(Q, \frac{V_T}{V}\right) \approx \frac{Q^{3/5}}{8} = \frac{1}{8} \left(\frac{v_p \epsilon_0}{kT} \right)^{3/5} \quad (31)$$

Для представляющих практический интерес значений $Q \sim 10-20$ величина $\max I \sim 1-0.5$. Вместе с тем положение пика на оси скоростей V_T и его характерная ширина $V_T - V_{T0}$ экспоненциально чувствительны к изменению температуры.

3.3. Температурно-скоростная зависимость силы динамического торможения

Выполненный выше анализ показывает, что сила динамического торможения дислокации, обусловленная ориентационно-дислокационным взаимодействием и процессами ориентационной релаксации, имеет весьма сложную зависимость от скорости дислокации V и температуры кристалла T . Эта зависимость в нескольких температурно-скоростных областях получена в виде асимптотических выражений. Прежде чем переходить к обсуждению полученных асимптотик, полезно сравнить силу динамического торможения F_D со стартовой силой F_s , вычисленной во втором разделе. Используя формулы (9), (15) и (21), получаем

$$F_D(T, V) = \frac{4}{\pi} F_s(T) I\left(Q(T), \frac{V_T}{V}\right). \quad (32)$$

Выше было показано, что $\max I \approx 1$, поэтому характерный масштаб силы ориентационного торможения дислокаций задается стартовой силой $F_s(T)$. Согласно (20), эта сила в температурном интервале (T_g, T_c) медленно возрастает с понижением температуры, достигая максимального значения в области температуры ориентационного стеклования.

На рис. 1 схематически показана зависимость динамической компоненты силы торможения от скорости дислокации V . Эта зависимость немонотонна: небольшой линейный участок при малых скоростях $V \ll V_{T0}$ сменяется широким максимумом в области скоростей $V \sim V_T$ и медленным убыванием в области больших скоростей $V \gg V_T$. При изменении температуры качественный характер зависимости силы $F_D(T, V)$ от скорости сохраняется, но происходят значительные количественные изменения, так как характеристические скорости V_T , V_{T0} и наклон линейного участка при малых скоростях экспоненциально зависят от температуры:

$$V_T = \frac{r_0}{\tau_0 n_h} \left(\frac{v_p \epsilon_0}{kT} \right) \exp\left(-\frac{U_p}{kT}\right),$$

$$V_{T0} = \frac{r_0}{3\pi_0 \bar{n}_h} \left(\frac{v_p \epsilon_0}{kT} \right)^3 \exp \left(- \frac{U_p + v_p \epsilon_0}{kT} \right). \quad (33)$$

Отметим, что вывод о немонотонной зависимости силы $F_D(T, V)$ от скорости V получен ранее при анализе динамического взаимодействия дислокации с ориентационными состояниями молекул в приближении линейного отклика [6]. Это приближение дает качественно правильную оценку скорости V_T и характера скоростной зависимости силы торможения при $V \gg V_T$. Учет нелинейных эффектов в окрестности ядра дислокации приводит к сильному уширению пика на скоростной зависимости $F_D(T, V)$ со стороны низких скоростей и более сильной температурной чувствительности наклона линейного участка в области малых скоростей.

Заключение

Проанализировано квазистатическое и динамическое взаимодействия краевой дислокации с пентагонными и гексагонными конфигурациями молекул в низкотемпературной фазе фуллерита C_{60} .

Описано неоднородное распределение гексагонных конфигураций, обладающих избыточной энергией, которое возникает вокруг линии неподвижной дислокации при $T_g < T < T_c$, где $T_c = 260$ К — температура фазового перехода между ПК и ГЦК структурами, $T_g \approx 90$ К — температура ориентационного стеклования. Вычислена стартовая сила $F_s(T)$, позволяющая вырвать дислокацию из образованной ею атмосферы h -конфигураций.

Описан релаксационный процесс переходов между p - и h -конфигурациями молекул, возникающий в упругом поле движущейся с постоянной скоростью V дислокации. Вычислена динамическая компонента силы торможения дислокации $F_D(T, V)$, обусловленная ориентационной релаксацией.

Детально проанализированы температурная зависимость стартовой силы $F_s(T)$ и температурно-скоростная зависимость силы динамического торможения $F_D(T, V)$. Характерной особенностью динамической компоненты силы трения является наличие на ее зависимости от скорости V широкого пика с почти плоской вершиной, положение которого на оси скоростей экспоненциально зависит от температуры.

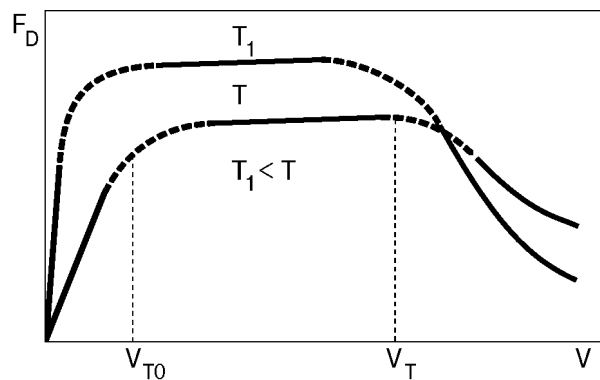


Рис. 1. Схематическое изображение зависимости динамической компоненты силы торможения $F_D(T, V)$ от скорости дислокации V при различных температурах T . Температурные зависимости характерных значений скорости V_T и V_{T0} описываются формулами (33). Сплошными линиями показаны участки зависимости $F_D(T, V)$, для которых получены аналитические аппроксимации (25), (26) и (30).

1. В. И. Орлов, В. И. Никитенко, Р. К. Николаев, И. Н. Кременская, Ю. А. Осипьян, *Письма в ЖЭТФ* **59**, 667 (1994).
2. M. Tachibana, M. Michiyama, K. Kikuchi, Y. Achiba, and K. Kojima, *Phys. Rev.* **B49**, 14945 (1994).
3. M. Tachibana, H. Sakuma, M. Michiyama, and K. Kojima, *Appl. Phys. Lett.* **67**, 2618 (1995).
4. Л. С. Фоменко, В. Д. Нацик, С. В. Лубенец, В. Г. Лицман, Н. А. Аксенова, А. П. Исакина, А. И. Прохватилов, М. А. Стржемечный, Р. С. Руфф, *ФНТ* **21**, 465 (1995).
5. С. В. Лубенец, В. Д. Нацик, Л. С. Фоменко, А. П. Исакина, А. И. Прохватилов, М. А. Стржемечный, Н. А. Аксенова, Р. С. Руфф, *ФНТ* **23**, 338 (1997).
6. В. Д. Нацик, С. В. Лубенец, Л. С. Фоменко, *ФНТ* **22**, 337 (1996); *Phys. Status Solidi A* **157**, 303 (1996).
7. J. Fridel, *Dislocations*, Pergamon Press (1964); Ж. Фридель, *Дислокации*, Мир, Москва (1967).
8. J. P. Hirth and J. Lote, *Theory of Dislocations*, Pergamon Press (1964); Дж. Хирт, И. Лоте, *Теория дислокаций*, Атомиздат, Москва (1972).
9. А. М. Косевич, В. Д. Нацик, *Континуальная и динамическая теория дислокаций*. Гл. 14 в кн.: *Физическое материаловедение в СССР: история, современное состояние, перспективы развития*, Наукова думка, Київ (1986).
10. А. М. Косевич, В. Д. Нацик, *ФТТ* **8**, 1250 (1966).
11. В. Д. Нацик, А. В. Подольский, *ФНТ* **24**, 689 (1998).
12. Н. П. Кобелев, Р. К. Николаев, Я. М. Сойфер, С. С. Хасанов, *ФТТ* **40**, 173 (1998).
13. В. И. Смирнов, *Курс высшей математики*, т. 2, ГИТТЛ, Москва (1950).

**Dislocation drag in the low-temperature phase
of fullerite C_{60} caused by orientational
relaxation of the molecules**

V. D. Natsik and A. V. Podolskiy

The interaction between an edge dislocation and the pentagonal (p) and hexagonal (h) orientational states of the molecules in the low-temperature (sc) phase of fullerite C_{60} is discussed. The temperature range $T_g < T < T_c$ ($T_c = 260$ K is the phase transition temperature, $T_g = 90$ K is the orientational glass formation temperature) is considered. An

inhomogeneous distribution of the h configurations formed around the motionless dislocation line is described. The starting force $F_s(T)$ capable of pulling out the dislocation from the cloud of the h configurations produced by this dislocation is calculated. The dynamic drag force $F_D(T, V)$ due to thermally activated transitions between p and h configurations in the elastic field of the dislocation moving at a constant velocity V is calculated and analysed.